

# کانی‌شناسی، روابط پاراژنتیکی و معرفی واکنش‌های متاسوماتیکی مجموعه کانی‌های اسکارن کوه دُر، جنوب شرق یزد

بتول تقی‌پور\*

استادیار بخش علوم زمین، دانشکده علوم، دانشگاه شیراز

تاریخ دریافت: ۹۰/۳/۱

تاریخ پذیرش: ۹۰/۱۱/۱۰

## چکیده

نفوذ توده دیوریتی منشاد در کربنات‌های کرتاسه، سبب شکل‌گیری اسکارن کوه دُر (Kuh-e Dor) شده و مجموعه کانی‌های زیر شاخص این اسکارن است:

اسپینل + کلیتونیت + فلوگوپیت + پیروکسن + گارنٹ + وزوویانیت همیافتی کانیابی، ویژه اسکارن‌ها است. روابط پاراژنتیکی کانی‌ها، همراهی تنگاتنگ اسپینل، کلیتونیت، فلوگوپیت را نشان داده است. پیدایش کلیتونیت نمایانگر مرحله گذر اسکارن منیزیم دار به کلسیم دار است. کلیتونیت به دنبال عمل سیال‌هایی با  $\text{XH}_2\text{O}$  بالا و  $\text{XCO}_2$  پایین و  $\text{SiO}_2$  کم شکل گرفته است، رابطه بافتی ناپایدار اسپینل با کلیتونیت - فلوگوپیت نشانگر ضرورت وجود اسپینل در نقش یک پیش زمینه یا منبع آلومینیم برای پیدایش میکاها است:



اسکارن منشاد یک اسکارن چندزادی است که آغاز مرحله کانی‌سازی با پیدایش پیروکسن و سرانجام آن با گارنٹ و وزوویانیت بوده است. دمای بیشینه اسکارن ۴۰۰ درجه سانتی‌گراد و در پایان کمینه دما ۴۰۰ درجه سانتی‌گراد برای پایداری وزوویانیت در شرایط  $\text{XH}_2\text{O} < \text{XCO}_2$  بوده است.

## واژه‌های کلیدی: اسکارن، کوه دُر، روابط پاراژنتیکی، کلیتونیت

اسکارن می‌شوند (Einaudi, et al. 1981). اسکارن‌ها در دمای  $200^{\circ}\text{C}$  تا  $700^{\circ}\text{C}$  درجه سانتی‌گراد و فشار بین  $0/3$  تا  $3$  کیلوبار تشکیل می‌شوند. آبهای دگرسان کننده شوری بین  $10$  تا  $45$  درصد دارند.

گارنٹ و پیروکسن مهم ترین کانی‌های سازنده اسکارن‌ها هستند. کلیتونیت، اسپینل، وزوویانیت و فلوگوپیت نیز از دیگر کانی‌های رایج اسکارن‌ها هستند. کلیتونیت یا گزانوفیلیت از خانواده میکاها ترد کلسیم‌دار سه وجهی (تری‌اکتاهدرا) با فرمول شیمیایی  $\text{Ca}(\text{Mg},\text{Al})_3(\text{SiAl}_3\text{O}_{10})(\text{OH})_2$  است (Guggenheim, 1984; Wenk and Bulakh, 2004) در اسکارن‌های سیلیسی (Hibbard, 2002)، کربنات‌های دگرگون

## مقدمه

اسکارن به سنگ دگرگونی همیری گفته می‌شود که از جانشینی عناصر Si, Al, Fe, Mg در سنگ‌های کربناتی به وجود می‌آید. اسکارن‌ها را می‌توان با توجه به شکل جایگیری به انوع زیر تقسیم کرد (Meinert et al., 2005):

(الف) اسکارن‌های نزدیک به توده نفوذی و یا در در اطراف توده، (ب) اسکارن‌های دور از توده نفوذی (ج) اسکارن‌های واکنشی (د) شبه اسکارن‌ها.

عواملی مانند نوع ماقما، عمق جایگزینی، قدرت کاهندگی، ترکیب سنگ دیواره، فاصله افق‌های کربناتی از منبع ماقمایی و شدت دخالت آب‌های جوی سبب متفاوت بودن کانسارت‌های

\* نویسنده مرتبط taghipour@shirazu.ac.ir

### روش مطالعه

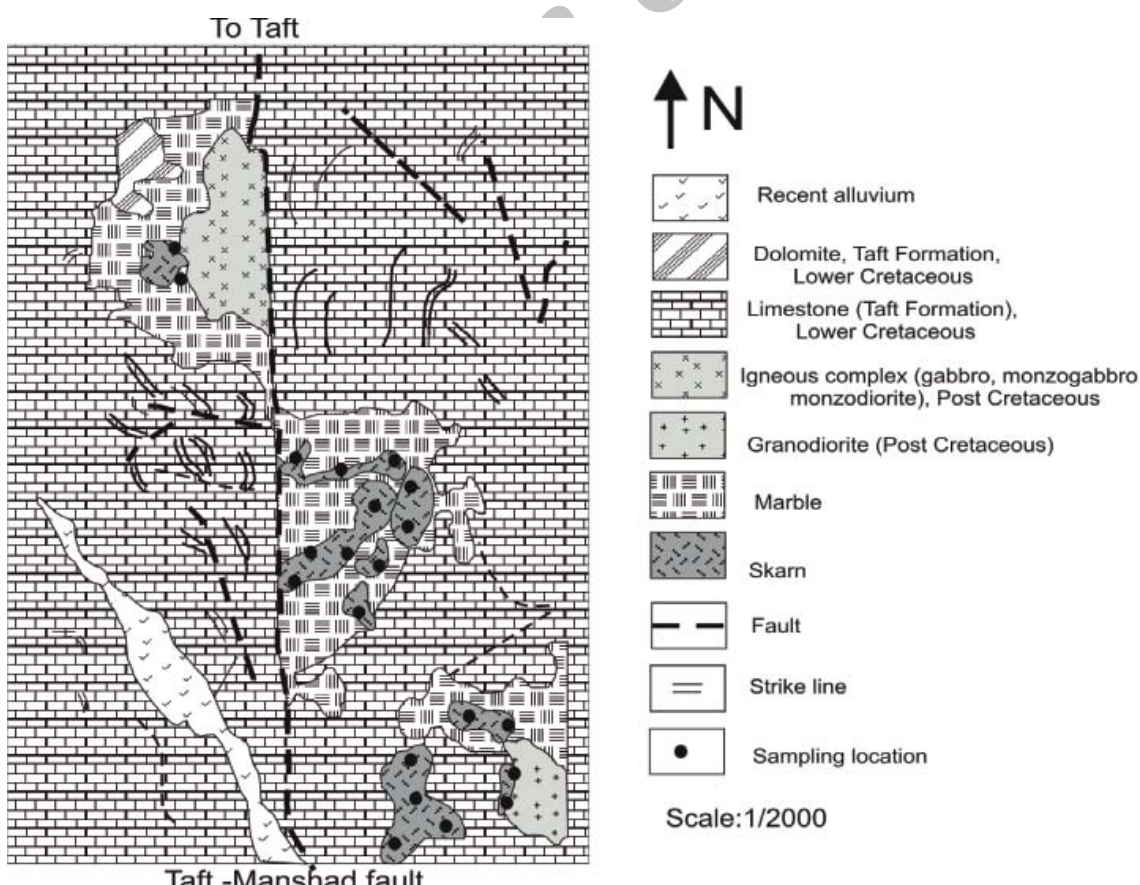
پیمایش‌های صحرایی از منطقه کوه دُر در طی چندین مرحله انجام گرفت. از ۷۵ نمونه برداشت شده، ۱۲ نمونه مربوط به توده نفوذی و ۵۳ نمونه مربوط به بخش‌های اسکارنی شده است. با توجه به بررسی‌های صحرایی نقشه زمین‌شناسی منطقه، به مقیاس ۱/۲۰۰۰ تهیه شد. مطالعات سنگ نگاری توسط میکروسکوپ پلاریزان (Olympus) مدل BH2 انجام شد. بررسی شیمی کانی‌ها پلاریزان (Olympus) مدل EDS و ریز کاو الکترونی EPMA مدل Cameca-Sx ۱۵ kv و شدت جریان ۱۵ nA مورد بررسی‌های دقیق کانی‌شناسی قرار گرفت.

### زمین‌شناسی منطقه

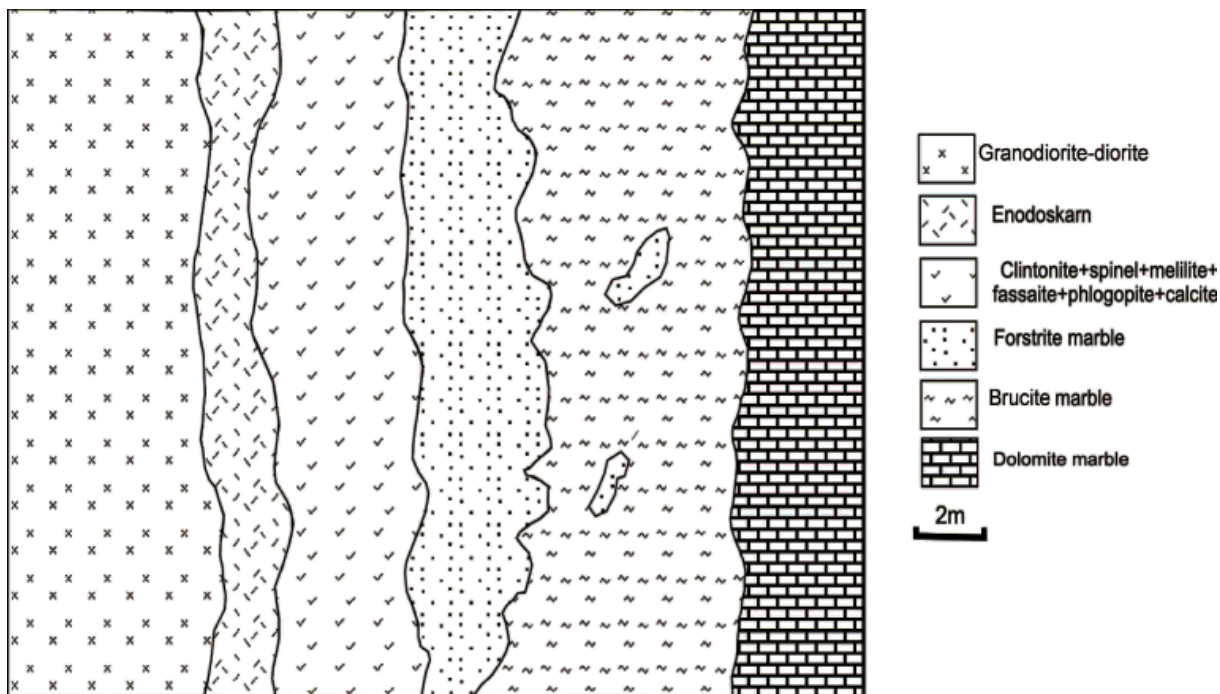
کوه دُر در جنوب غرب روستای منشاد واقع شده است. با تولیت گرانیتی شیرکوه (ژوراسیک میانی) در حقیقت پی‌سنگ منطقه را تشکیل داده است. بر روی آن سنگ آهک‌های دولومیتی کرتاسه زیرین با واسطه سازند کنگلومراپی - ماسه سنگی سنگستان جای گرفته است (دگرشیبی آذرین پی). محدوده اسکارن منشاد درون

شده گرمایی (Rice, 1979) و سنگ‌های دگرگون شده غنی از کلسیم و آلمینیوم یافت می‌شود (Olesch and Seifert, 1976). منطقه‌بندی و نسل‌های متنوع کانی‌های اسکارنی تابع تغییرات فیزیکوشیمیایی سیالات سازنده این نوع سنگ‌ها است (Pirajno, 1992). اسکارن‌ها و نهشته‌های جانشینی کربناتی چند فلزی، حاصل واکنش سیالات گرمایی ( $>250^{\circ}\text{C}$ ) با سنگ‌های آذرین دما بالا (مانند کانسارهای پورفیری) و سنگ میزبان کربناتی هستند، این سیالات شوری پایین تا بالا دارند.  $\text{CO}_2$  از مهم‌ترین سازنده‌های این سیالات است (Pirajno, 1992).

اسکارن‌ها از دیرباز از نظر تنوع کانی‌شناسی و نیز پتانسیل اقتصادی مورد توجه زمین‌شناسان بوده‌اند (Hammarstrom et al., 1989; Einaudi, 1977; Franchini et al., 2002; Meinert, et al., 2005). پیدایش اسکارن‌ها در ایران متنوع است. مagma تیسم سوززویک ایران مرکزی، سبب شکل‌گیری سنگ‌های دگرگونی (Boomeri et al., 2009; Calagari, and Hosseinzadeh, 2006; Karimza deh Somarin and Moayyed, 2002) در این مقاله، با توجه به مطالعات زمین‌شناسی، کانی‌شناسی و روابط پاراژنیکی، واکنش‌های تعادلی برای تشکیل کانی‌های مجموعه اسکارن معرفی خواهد شد.



شکل ۱. نقشه زمین‌شناسی کوه دُر، ارتباط اسکارن با سایر واحدهای زمین‌شناسی دیده می‌شود (مکی‌زاده، ۱۳۸۷).



شکل ۲. منطقه‌بندی اسکارن‌ها از توده نفوذی به سمت بخش‌های کربناتی در کوه دُر (Taghipour et al., 2010).

قلیایی است (نوربهشت، ۱۳۷۹، مکی زاده ۱۳۸۷). این توده دارای بافت دانه‌ای دانه ریز تا متوسط است. کانی‌های اصلی سازنده این توده اسکارنی شامل پلاژیوکلازالزهای سوسوریتی (۳۰ درصد)، آمفیبول (۳۰ درصد)، بیوتیت (۳۰ درصد)، پیروکسن‌های اورالیتی (۱۰ درصد) است. از کانی‌های فرعی می‌توان به کوارتز، اسفن، کلریت و کانی‌های تیره اشاره کرد. پلاژیوکلازالزها اغلب ساختار منطقه‌ای دارند، بلورهای بیوتیت در این سنگ‌ها تا حدودی به کلریت تجزیه شده‌اند. همچنین در امتداد رخ‌ها، بیوتیت تجزیه شده و اسفن‌های ثانویه تشکیل شده است. در برخی موارد، بیوتیت‌ها به صورت بافت بین روزنه‌ای با بلورهای بزرگ پلاژیوکلاز دیده می‌شوند. بیشتر بیوتیت‌ها با آمفیبول‌ها رابطه ناپایدار بافتی دارند و به نظر می‌رسد که به خرج آنها شکل گرفته‌اند.

### روابط سنگ‌نگاری اسکارن‌ها

به طور کلی بررسی‌های سنگ‌نگاری در اسکارن‌های کلیتونیت‌دار منطقه‌نشاد مجموعه کانیهای زیر را نشان داده است:  
 $\text{clinopyroxene} + \text{spinel} + \text{clintonite} + \text{phlogopite} + \text{garnet} + \text{vesuvianite} + \text{calcite} \pm \text{amphibole}$  (thermolite + actinolite)

### کلینوپیروکسن

کلینوپیروکسن، کانی غالب برون اسکارن‌های منطقه کوه دُر است، کلسیت و آمفیبول پرکننده فضای خالی بین کلینوپیروکسن است (شکل b<sup>۳</sup>, a). روابط بافتی نشان می‌دهد که آمفیبول، مرز تعادلی با کلینوپیروکسن ندارد، بنابراین آمفیبول‌ها ناشی از اورالیتی شدن پیروکسن‌ها است. این گونه آمفیبول‌ها جانشین

باتولیت شیرکوه و در فاصله‌ای نه چندان دور از واحدهای کربناتی و در انتهای گسل شمالی - جنوبی تفت - منشاء واقع شده است (شکل ۱). توده نفوذی (احتمالاً بعد از کرتاسه) گرانیت شیرکوه را قطع کرده است. اسکارن‌ها درون توده نفوذی و در حواشی توده نفوذی تاخیری پس از شیرکوه حضور دارند. سنگ‌های آهکی و دولومیتی کرتاسه زیرین که بر روی گرانیت شیرکوه قرار گرفته اند، میزبان اسکارن سازی و در زمان نفوذ توده‌های جوان تر حضور داشته‌اند.

جابجایی رخ داده در گسل عادی تفت - منشاء با امتداد شمال غرب-جنوب شرق، باعث نفوذ توده‌های آذرین با ترکیب گرانیتی تا دیوریتی در زمان کرتاسه شده است. اسکارن‌ها و مرمرهای دگرگون شده پس از شکل گیری توده‌های نفوذی ایجاد شده‌اند. منطقه‌بندی اسکارن‌ها از توده نفوذی به مرمرها و سنگ‌های کربناتی دولومیتی غیر دگرگون به صورت زیر است:  
 گرانودیوریت، پیروکسن - پلاژیوکلاز (درون اسکارن)، کلیتونیت - اسپینل - فاسائیت اسکارن، مرمرهای فورسترتیت دار، مرمرهای بروسیت دار و سرانجام مرمرهای دولومیتی دیده می‌شود (شکل ۲).

این سنگ‌ها بیشتر به رنگ خاکستری و دارای اسپینل هستند. اسکارن‌ها تغییرات تدریجی به سمت سنگ‌های سبز (غنی از کلینوپیروکسن) دارند. شواهد صحرایی به روشنی جانشینی اسکارن را بر روی سنگ‌های غنی از پیروکسن نشان می‌دهد.

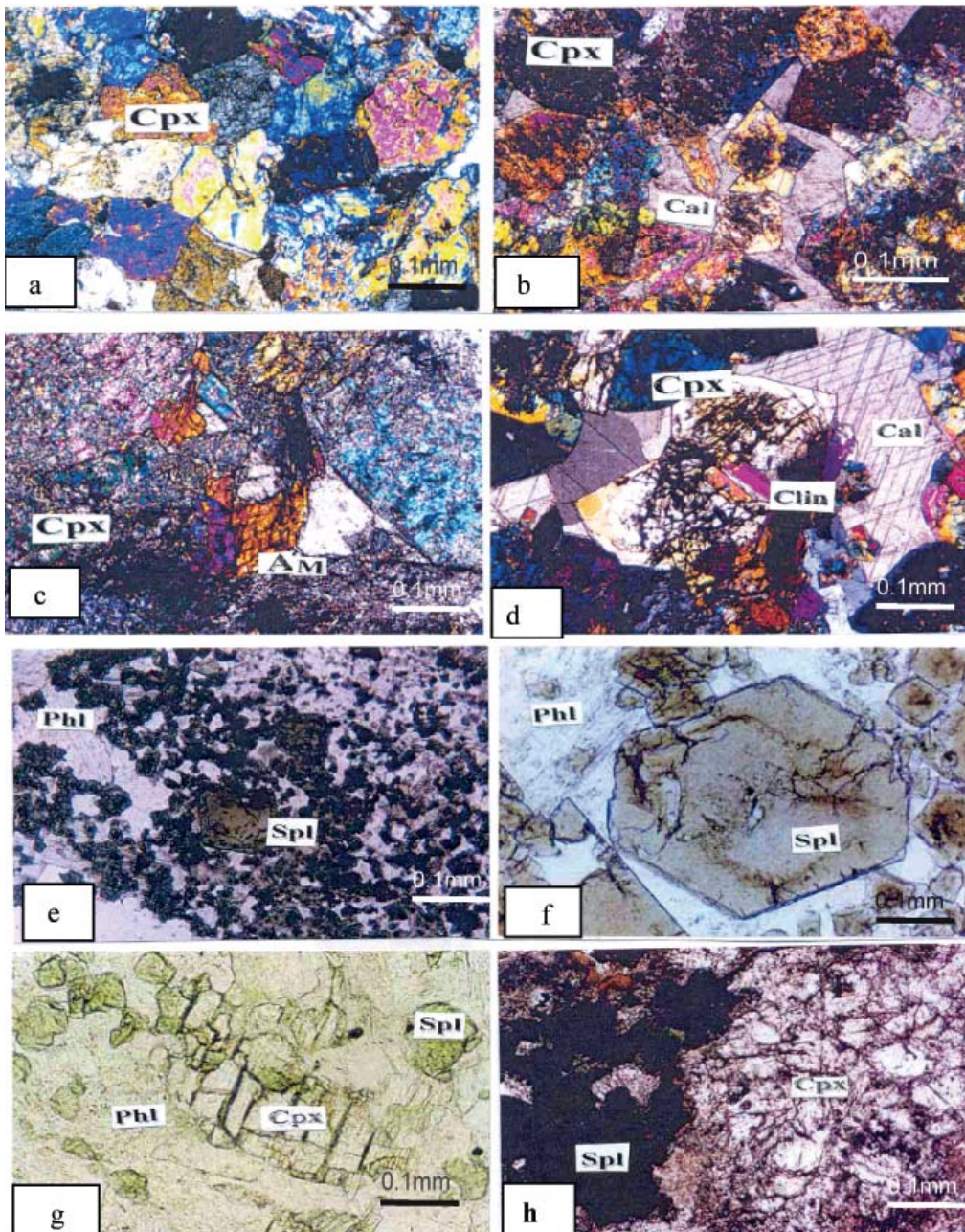
### سنگ‌نگاری توده نفوذی

مطالعات پیشین نشان داده که توده نفوذی منطقه منشاء، دارای ترکیب گرانودیوریتی دیوریتی و ماهیت ماقمای آن کلسیمی -

### اسپینل

اسپینل در اسکارن‌های کوه دُر با رنگ سبز زیتونی تا تیره به صورت شکل‌دار (شکل ۳ e, f) تا نیمه شکل‌دار و بی‌شکل، حضور فراگیر دارد. ابعاد اسپینل‌ها حداقل تا ۱ میلی‌متر می‌رسند و به آسانی در نمونه دستی قابل شناسایی هستند. همراهی اسپینل با کلینوپیروکسن‌ها عادی است. شواهد میکروسکوپی حاکی از تحمیل اسپینل بر پیروکسن‌ها یا به عبارت دیگر شکل‌گیری اسپینل

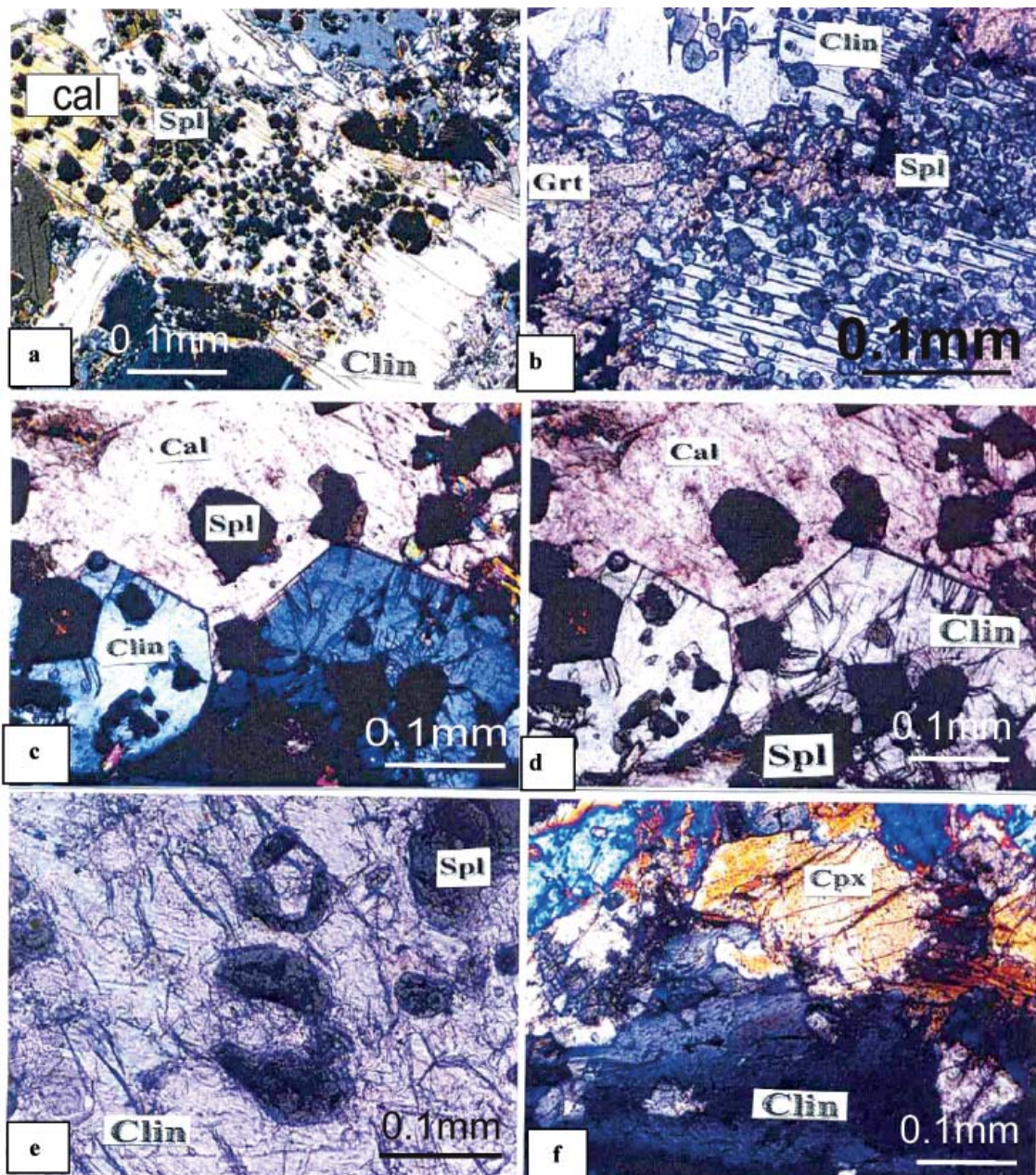
بخشی پیروکسن هستند و به شکل‌های رشتہ‌ای و گاهی فاقد شکل هندسی دیده می‌شوند، رخ‌های ویژه آمفیبول به روشنی در آن‌ها قابل مشاهده است. همان گونه که خواهیم دید این کانی در مرحله تاخیری اسکارن سازی که هجوم سیالات آبدار است، شکل گرفته است (شکل ۳ c). گاهی کلیتونیت با بافت غربالی در برخی از پیروکسن‌ها دیده می‌شود (شکل ۳ d)، بنابراین کلیتونیت در مرحله پیش از کلینوپیروکسن شکل گرفته است.



شکل ۳. a. بافت گرانوبلاستیک در بخش‌های غنی از پیروکسن (پیروکسن اسکارن) (XPL). b. رخداد کلسیت در فضای بین کلینوپیروکسن‌ها (XPL). c. رخداد آمفیبول به طور محلی با گسترش کم در حاشیه و فضای خالی بین پیروکسن‌ها (XPL). d. رخداد کلیتونیت به شکل پویی کلیوبلاست درون پیروکسن‌ها (XPL). e. رخداد اسپینل‌های نیمه شکل‌دار به شکل‌دار تا دانه‌ای پراکنده (PPL). f. رخداد اسپینل تمام شکل‌دار با شبیه از ساخت منطقه‌ای (PPL). g. کلینوپیروکسن با رخ‌های واضح در حال جانشینی در بخش‌های غنی از پیروکسن، بازمانده تحلیل نرفته (PPL). h. هجوم اسپینل برای جانشینی توسط اسپینل (PPL).

ضعیف، شکستگی‌ها و رخ‌های واضح شاخص هستند (شکل ۴). این کانی معمولاً همراه با اسپینل و گاهی پیروکسن است (شکل ۴c, d).

اسپینل معمولاً به شکل دانه‌های گرد شده و دارای حاشیه تحلیل رفته، دیده می‌شود (شکل ۴a). بافت‌های غیر تعادلی اسپینل-کلیتونیت شکل گیری کلیتونیت به خرج اسپینل را نشان می‌دهد. حاشیه‌های کلینوپیروکسن با کلیتونیت نیز به صورت نامنظم است و قطعات تحلیل نرفته کلینوپیروکسن درون کلیتونیت دیده می‌شود.



شکل ۴. a. بلورهای کلیتونیت با رنگ‌های تداخلی زرد تا خاکستری سرشار از میانه‌های اسپینل (XPL). b. بلورهای کلیتونیت بی‌رنگ در نور مسطح در همراهی با گارنت (زرد عسلی) و اسپینل (سیز) (XPL). c. و d. توسعه شکستگی‌ها بر روی صفحه‌های شش وجهی دروغین کلیتونیت (XPL و PPL). e. اسپینل با بافت حلقوی به شکل میانبار درون صفحه (۰۰۱) کلیتونیت (PPL). f. مرز ناپایداری کلیتونیت با پیروکسن (XPL).

به خرج پیروکسن‌ها است (شکل‌های ۳g, h). این مورد حتی تا آنجا پیش رفته است که رخ و شکل ظاهری کلینوپیروکسن در اسپینل هنوز محفوظ مانده است (شکل‌های pseudomorph) (شکل‌های a, b). همراهی اسپینل‌های بی‌شکل، با حاشیه ناهمسانگرد به شکل پویی کیلوپلاست درون کلیتونیت بسیار عادی است (شکل ۴d).

### کلیتونیت

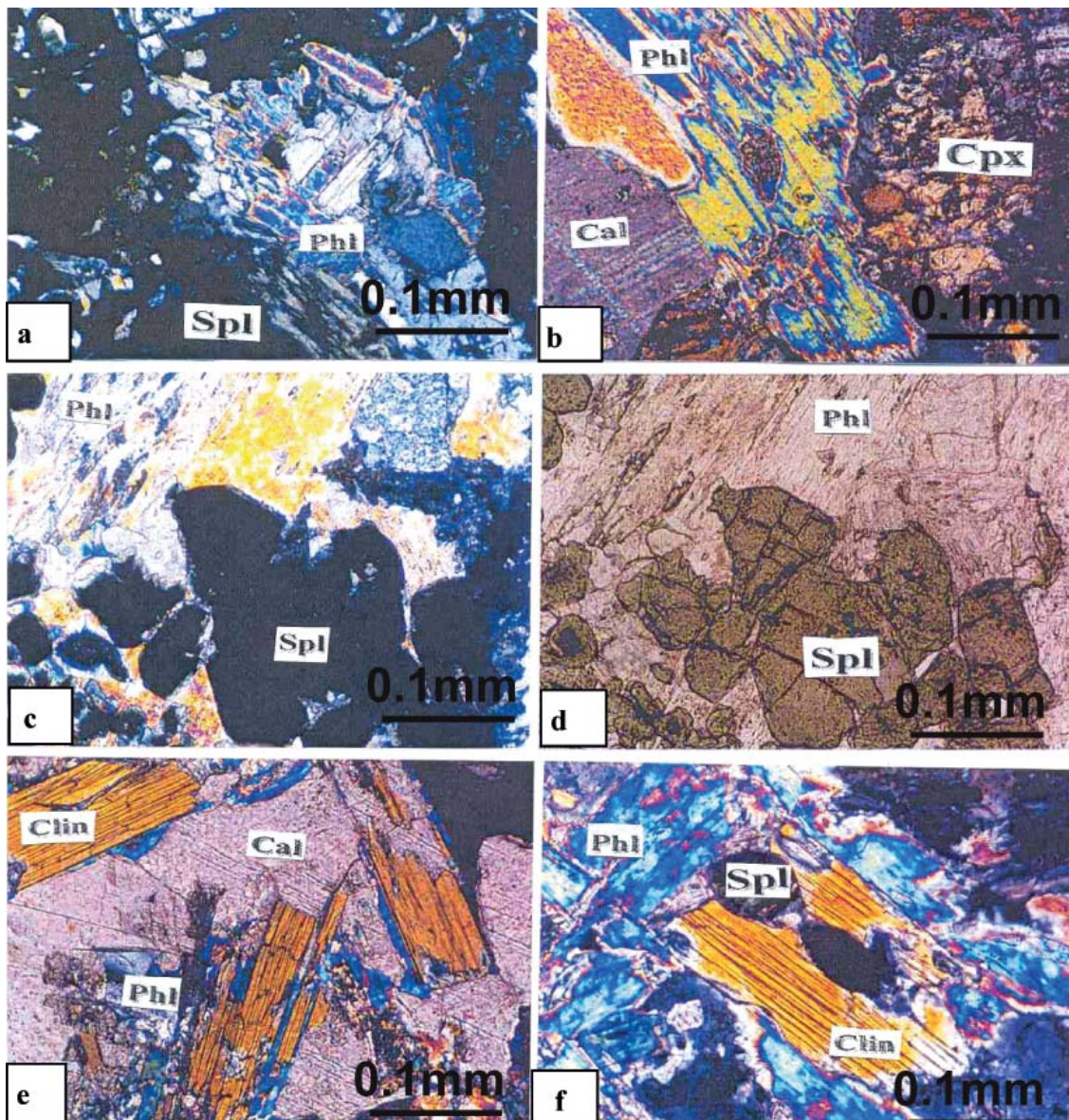
کلیتونیت‌ها عموماً با رنگ‌های تداخلی زرد و به ندرت تا اوائل سری اول دیده می‌شوند و در نور پلاریزه مسطح با چند رنگی

بخشی اسپینل و پیروکسن (کمتر) دیده شده است (شکل b). در این گونه موارد حاشیه کلینوپیروکسن و اسپینل در حال تحلیل رفتن است و حتی قطعاتی از بلور پیروکسن یا اسپینل به صورت جزایری با حاشیه تحلیل رفتہ داخل فلوگوپیت‌ها قابل مشاهده است (شکل های b, c, d). رشد تداخلی بلورهای فلوگوپیت در امتداد رخ‌های کلیتونیت دیده می‌شود. همچنین فلوگوپیت به شکل رورشدی<sup>۱</sup> بر روی کلیتونیت مشخص است (شکل e). فروپاشی کلیتونیت از حاشیه و تبدیل آن به فلوگوپیت نیز دیده شده است (شکل f).

در موارد اندکی رابطه ناپایدار کلیتونیت با اسپینل و پیروکسن به صورت توأم دیده می‌شود، یعنی نخست جانشینی توده‌های اسپینل (شکل e) یا تک بلور اسپینل (شکل f) در بخش‌های کلینوپیروکسن‌دار انجام گرفته است و پس از آن، کلیتونیت به خرج هر دو شکل گرفته است.

### فلوگوپیت

فلوگوپیت معمولاً در همراهی با کلیتونیت و اسپینل دیده می‌شود (شکل ۵ a). بلورهای آزاد و مستقل این کانی در زمینه کلسیت به ندرت مشاهده می‌شود. پیدایش این کانی به خرج فروپاشی

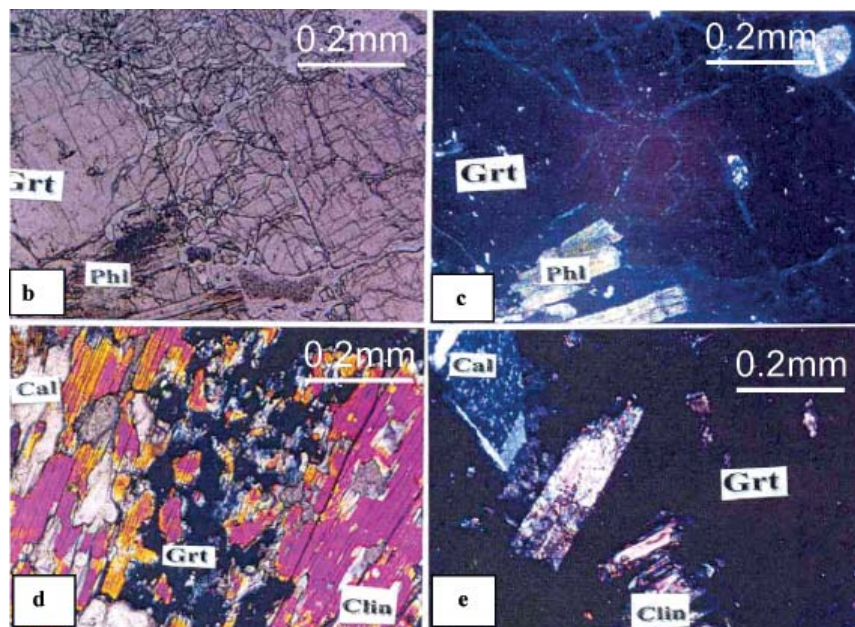


شکل ۵. همیافتی کلیتونیت (خاکستری) و فلوگوپیت (آبی سری دوم) و در اطراف اسپینل‌های توده‌ای دیده می‌شوند (XPL). a.b. مرز ناپایداری فلوگوپیت با پیروکسن، بازمانده پیروکسن به شکل جراحتی درون فلوگوپیت دیده می‌شود. c.d. اسپینل‌ها که به طور بخشی در حال تحلیل توسط فلوگوپیت هستند (XPL) و e.f. فلوگوپیت به شکل روكش بر کلیتونیت، رشد فلوگوپیت نیز دیده می‌شود (XPL). e.f. فروپاشی کلیتونیت از پیرامون و تشکیل فلوگوپیت (XPL).

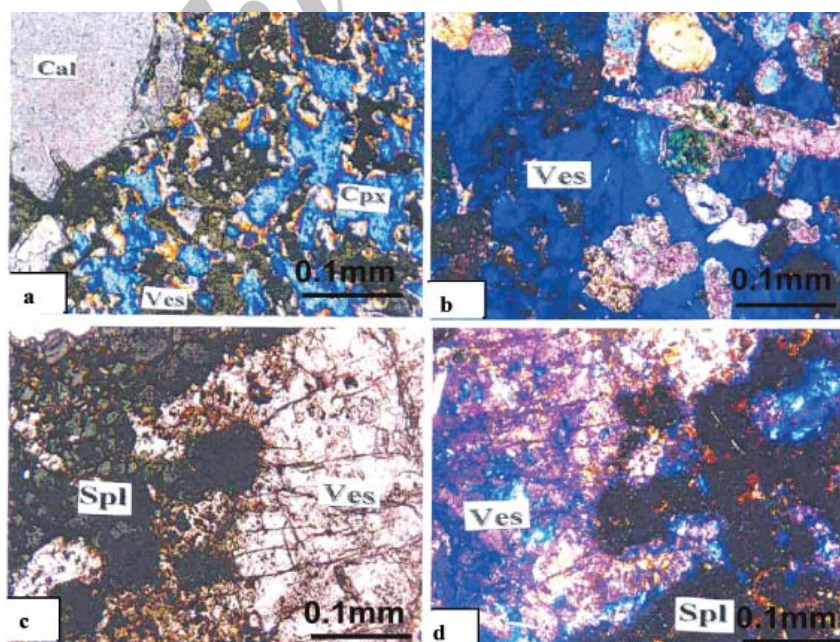
در کلینوپیروکسن در برخی موارد با حفظ شکل اولیه رخ‌های کلینوپیروکسن<sup>۱</sup> نیز عادی است (شکل ۶ a,b). گارنت رابطه ناپایداری را با کلیتونیت نشان می‌دهد. جانشینی بخشی گارنت در کلیتونیت در برش‌های نازک میکروسکوپی دیده می‌شود (شکل ۶ c). همچنین گاهی بازماندهایی از کلیتونیت با بافت غربالی درون گارنت دیده می‌شود (شکل ۶ d).

## گارنت

گارنت کانی دیگر شاخص این نوع اسکارن‌هاست، این کانی به ندرت تا ۲ میلی متر می‌رسد. گارنت‌ها همسانگرد، بی‌شکل و بی‌رنگ تا کمی رنگی (زرد عسلی) هستند. گارنت علاوه بر پیدایش مستقل در زمینه کلسیتی به خرج کلینوپیروکسن نیز شکل گرفته است. در این باره کلینوپیروکسن‌ها به صورت بازمانده درون گارنت دیده می‌شوند (شکل ۶ a,b). جانشینی کامل گارنت



شکل ۶. a. b. جانشینی کامل گارنت در پیروکسن، با حفظ شکل کامل دو دسته رخ‌های پیروکسن (PPL و XPL). c. خوردشدن کلیتونیت توسط گارنت. d. غرقشدن کلیتونیت درون گارنش (XPL). e. غرقشدن کلیتونیت درون گارنش (XPL).



شکل ۷. تبدیل بخشی پیروکسن به وزوویانیت (XPL). a.b. یک بلور بزرگ وزوویانیت دارای پیروکسن‌های فراوان و حاشیه خوردشده (XPL). c.d. رابطه ناپایدار وزوویانیت-اسپینل نشان دهنده تبدیل کلیتونیت به وزوویانیت است (XPL).

با این وجود در مواردی به صورت بخشی کلسیتی شده است.

### مطالعات شیمی کانی‌ها

برای تعیین ترکیب شیمیایی نیمه کمی کلیتونیت‌های کوه دُر، از روش تجزیه نیمه کمی EDS استفاده شد (شکل ۸) و در ادامه از تجزیه نقطه‌ای توسط دستگاه EPMA، برای پی بردن به شیمی کانی استفاده شده است (جدول ۱). ترکیب شیمیایی دو نمونه کلیتونیت فشارک و کلیتونیت‌های کوه دُر (Kuh-e-Dor) آورده شده است آن گونه که دیده می‌شود، تجزیه‌های نقطه‌ای کلیتونیت کوه دُر نزدیک به کلیتونیت‌های فشارک است.

برای شناسایی شیمی کانی اسپینل نیز از تجزیه نیمه کمی EDS، (شکل ۹) استفاده شده است. همان‌گونه که دیده می‌شود اسپینل‌ها حاوی مقداری آهن هستند. به گونه‌ای که  $\text{Fe}^{2+}$  جانشین  $\text{Mg}$  شده است. در اسپینل از نوع پلئوناست<sup>۱</sup> مقادیر قابل ملاحظه دیده می‌شود. در یک نمونه مقدار  $\text{ZnO}$  برابر  $3/06\%$  عنصر  $\text{Zn}$  دیده است. عموماً جانشینی قابل ملاحظه‌ای از  $\text{Fe}$  و  $\text{Mg}$  توسط

جدول ۱. نتایج تجزیه نقطه‌ای کانی کلیتونیت اسکارن کوه دُر

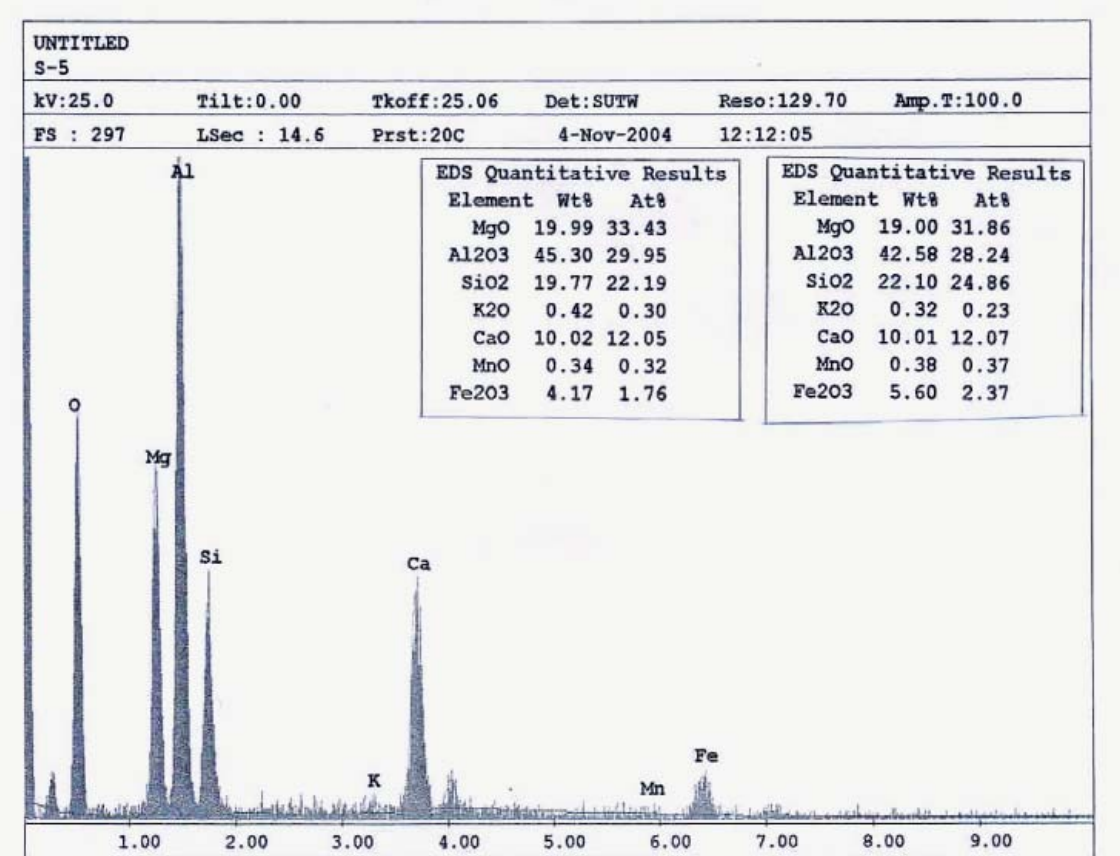
Sample (%)	Clintonite (Kuh-e-Dor)	
	Cl-3	Cl-4
$\text{SiO}_2$	15.50	15.93
$\text{TiO}_2$	0.07	0.09
$\text{Al}_2\text{O}_3$	44.35	43.03
$\text{FeO}$	1.01	1.02
$\text{Fe}_2\text{O}_3$	0.63	0.78
$\text{MnO}$	0.00	0.00
$\text{MgO}$	18.28	18.61
$\text{CaO}$	13.12	13.18
$\text{K}_2\text{O}$	0.00	0.01
$\text{Na}_2\text{O}$	0.02	0.04
Total	92.98	92.69
Cations on the basis of O=22		
Si	2.24	2.30
Ti	0.00	0.01
[Al]4	5.76	5.70
{Al]6	1.74	1.65
$\text{Fe}^{2+}$	0.16	0.18
$\text{Fe}^{3+}$	0.04	0.04
Mn	0.00	0.00
Mg	3.96	4.05
Ca	2.03	2.05
Na	0.00	0.01

1- Pleonaste

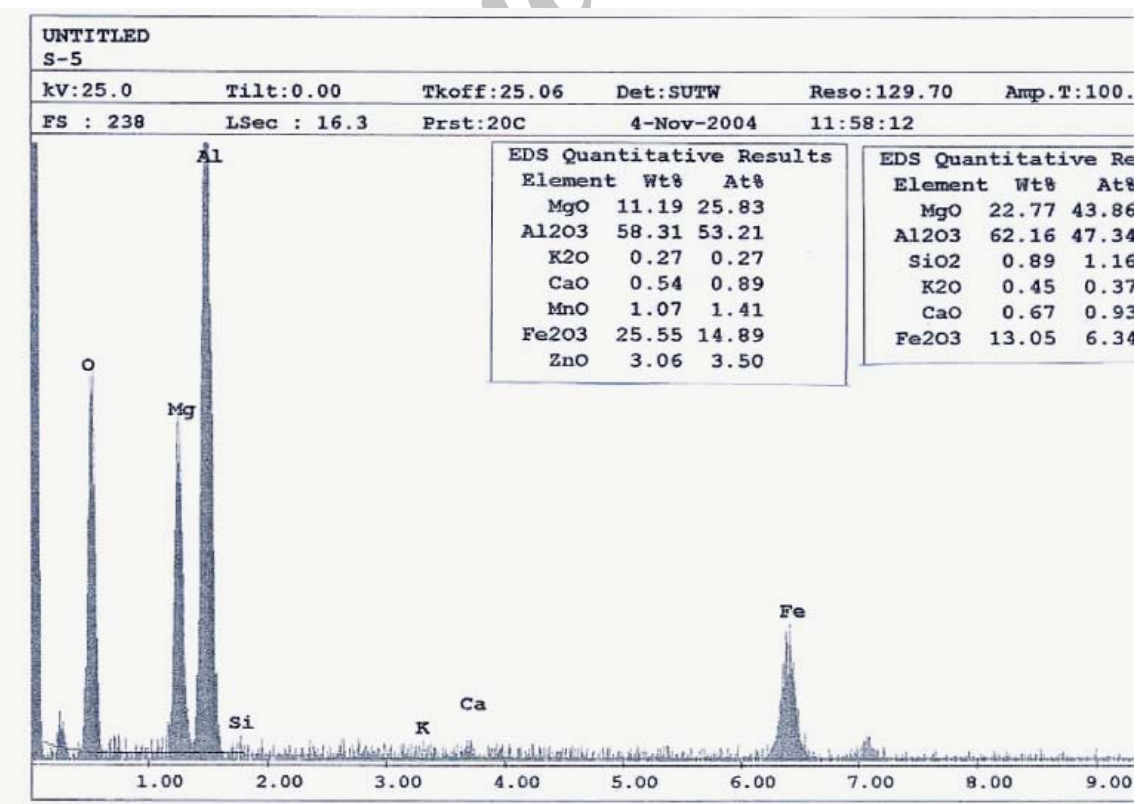
### وزوویانیت

کانی دیگر این مجموعه وزوویانیت است. این کانی بیشتر به صورت بی‌شکل، یکارچه و توده‌های تک کانیائی دیده می‌شود. در نور قطبیده متقطع، دارای رنگ‌های تداخلی غیر عادی بنفس تا آبی و حتی است و در برخی موارد با دوشکستی خیلی ضعیف به شکل همسانگرد (مانند گارتنت) مشاهده می‌شود. این کانی هم به صورت مستقل در زمینه کلسیت رشد کرده است و هم به صورت همپوشانی در تمام کانی‌های اسکارن منشاد دیده می‌شود.

کلینوپیروکسن از نوع فاسائیت با وزوویانیت بافت عدم تعادلی دارد. وزوویانیت به شکل جانشینی نامنظم در تک بلورهای فاسائیت (شکل ۷a) دیده می‌شود. در بیشتر موارد، وزوویانیت‌ها درشت و دارای میانبارهایی از کلینوپیروکسن با حاشیه‌های در حال تحلیل هستند (شکل c و b). باقیمانده‌هایی از بلورهای کلیتونیت در حال کلسیتی شدن درون وزوویانیت دیده می‌شود. بافت‌های عدم تعادلی وزوویانیت و فلوگوپیت در این نوع اسکارن‌ها دیده شده است (شکل d). نایپایداری ارتباط گارتنت با وزوویانیت، نشان دهنده تشکیل وزوویانیت به خرج گارتنت است. وزوویانیت کمتر تحت تأثیر دگرسانی قرار گرفته است، اما



شکل ۸ تجزیه نیمه کمی کلیستونیت کوه در (Dor) توسط تفکیک انرژی (EDS) و طیف تجزیه آن.

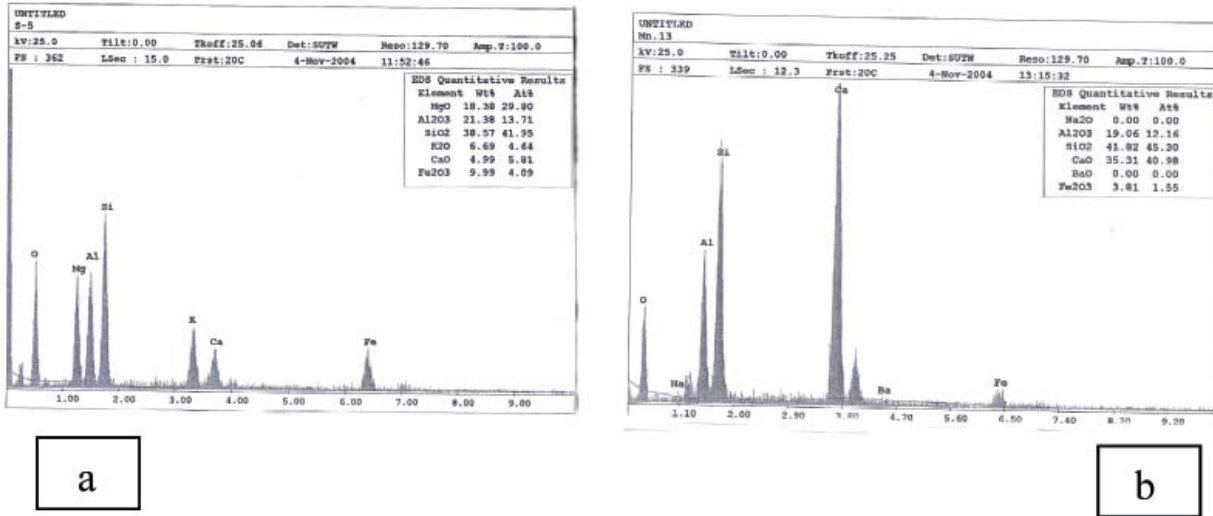


شکل ۹. تجزیه نیمه کمی کانی اسپینل.

تعیین ترکیب شیمیایی کانی کلینوپیروکسن به روش تجزیه نقطه‌ای (EPMA) انجام گرفت (جدول ۳) نتایج ژئوشیمیایی و مقایسه آن با کلینوپیروکسن‌های سایر اسکارن‌های جهان نشان می‌دهد که ترکیب شیمیایی این کانی فاسائیت است. کانی گارنت نیز به روش تجزیه نقطه‌ای آزمایش شد، نتایج این آزمایش در جدول ۴ نشان داده شده است. همان‌گونه که در جدول نیز دیده

وجود دارد (Deer et al., 1991).

Zn در ادامه، برای تأیید وجود فلوگوپیت (شکل a) و آگاهی از شیمی وزوویانیت (شکل b) از تجزیه نیمه کمی استفاده شد. مقدار بالای  $K_2O$  و همچنین  $MgO$  در فلوگوپیت شاخص این میکا است.



شکل ۱. a. تجزیه نیمه کمی و طیف نمونه فلوگوپیت کوه ڈر. b. تجزیه نیمه کمی و طیف نمونه وزوویانیت کوه ڈر.

جدول ۲. نتایج تجزیه نقطه‌ای کانی اسپینل در اسکارن کوه ڈر

Sample (%)	Spinel (Kuh-e- Dor)	
	S-1	S-2
SiO <sub>2</sub>	0.04	0.02
TiO <sub>2</sub>	0.09	0.06
Al <sub>2</sub> O <sub>3</sub>	65.10	66.27
FeO	6.90	6.87
Fe <sub>2</sub> O <sub>3</sub>	3.21	2.01
MnO	0.05	0.10
MgO	24.49	24.48
CaO	0.01	0.00
K <sub>2</sub> O	0.00	0.01
Na <sub>2</sub> O	0.00	0.00
Total	99.89	99.82
Ti	0.00	0.00
Al	1.95	1.91
Fe <sub>2+</sub>	0.14	0.14
Fe <sub>3+</sub>	0.01	0.01
Mn	0.00	0.00
Mg	0.92	0.82
Spinel	86.76	85.24
Hercynite	13.14	14.55
Galaxite	0.09	0.21

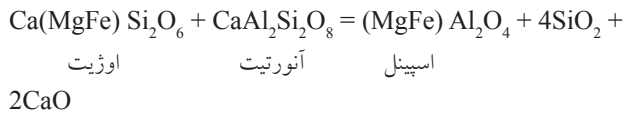
جدول ۳. نتایج تجزیه نقطه ای ریزکاوالکترونی کانی کلینوپیروکسن اسکارن کوه دُر

(%) Sample	S-13-1	S-13-2	S-13-3	S-13-4	S-13-5
SiO <sub>2</sub>	40.34	42.03	42.10	42.11	42.15
TiO <sub>2</sub>	3.71	2.94	3.19	2.93	3.24
Al <sub>2</sub> O <sub>3</sub>	13.46	12.53	12.68	12.60	12.43
FeO	2.60	2.63	2.60	2.59	2.40
Fe <sub>2</sub> O <sub>3</sub>	1.10	1.14	1.10	1.10	1.20
MnO	0.02	0.01	0.01	0.02	0.02
MgO	11.01	11.50	11.37	11.61	11.49
ZnO	0.01	0.03	0.00	0.01	0.02
CaO	25.04	25.22	25.26	25.23	25.21
K <sub>2</sub> O	0.00	0.00	0.01	0.00	0.00
Na <sub>2</sub> O	0.03	0.03	0.01	0.02	0.03
BaO	0.08	0.01	0.03	0.05	0.06
F	0.00	0.09	0.00	0.00	0.01
Cl	0.00	0.00	0.01	0.00	0.00
Total	97.41	98.11	98.38	98.29	98.34
Si	3.09	3.19	3.19	3.19	3.20
Ti	0.21	0.17	0.18	0.16	0.19
Al	1.21	1.12	1.13	1.12	1.11
Fe <sup>2+</sup>	0.16	0.16	0.15	0.16	0.15
Fe <sup>3+</sup>	0.08	0.08	0.07	0.08	0.07
Mn	0.00	0.00	0.00	0.00	0.00
Mg	1.26	1.30	1.28	1.32	1.30
Zn	0.00	0.00	0.00	0.00	0.00
Ca	2.06	2.05	2.05	2.05	2.04
Ba	0.002	0.000	0.001	0.002	0.001
Na	0.005	0.004	0.001	0.003	0.004
K	0.000	0.000	0.002	0.000	0.000
F	0.000	0.000	0.000	0.000	0.000
Cl	0.000	0.000	0.000	0.000	0.000
Sum	8.08	7.07	8.06	8.08	8.07

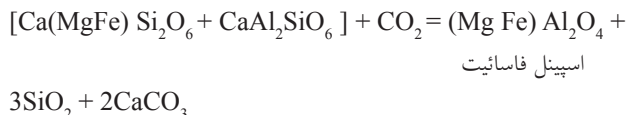
جدول ۴. نتایج تجزیه نقطه ای ریزکاوالکترونی کانی گارنت اسکارن کوه دُر

(%) Sample	D-1	D-2	D-3	D-4	D-5
SiO <sub>2</sub>	37.20	36.77	36.63	37.63	37.34
TiO <sub>2</sub>	0.10	0.00	0.03	0.09	0.06
Al <sub>2</sub> O <sub>3</sub>	13.41	11.97	11.48	24.32	21.60
FeO	8.32	8.79	10.41	8.03	10.83
Fe <sub>2</sub> O <sub>3</sub>	4.01	5.03	4.20	3.40	4.02
MnO	0.69	0.71	0.72	0.12	0.13
MgO	0.00	0.00	0.00	0.00	0.00
CaO	35.20	34.88	34.80	23.52	23.14
Total	98.92	98.14	98.27	97.11	97.11

از سوی دیگر مشاهدات میکروسکوپی جانشینی اسپینل در اسکارن‌های کلینوپیروکسن دار را نیز نشان داده است (Taghipour et al., 2010):



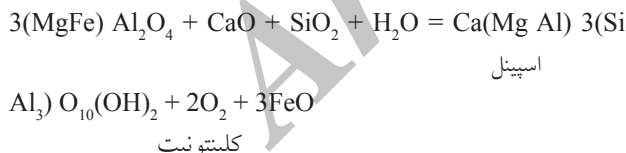
نایابداری و فروپاشی بخش فاسائیت (آلومینو-دیوپسید) برای پیدایش اسپینل در شرایط جدید می‌تواند با واکنش زیر توجیه شود (Taghipour et al., 2010):



### کلیتونیت، فلوگوپیت

کلیتونیت یک کانی با یون هیدروکسید است، بنابراین در هنگام تشکیل آن فشار بخار آب به اندازه کافی در محیط وجود خواهد داشت (نوربهشت، ۱۳۷۹). به دام افتادن بلورهای اسپینل در درون بلورهای کلیتونیت و دگرسانی آن از کناره، این احتمال را دارد که در اثر ورود محلول‌های گرمابی به داخل سامانه گزان توفیلیت تشکیل شده باشد (Mackizadeh, 2008).

در مشاهدات سنگ نگاری نیز اشاره شد که همراهی اسپینل با کلیتونیت به شکل میانبارهای تحلیل رفته، بسیار عادی است. بنابراین بلورهای اسپینل (ضروری ترین عنصر) در تشکیل کلیتونیت، منع مستقیم آلومینیم معرفی می‌شوند. واکنش تشکیل کلیتونیت به خروج اسپینل را می‌توان چنین نوشت (Taghipour et al., 2010):



احتمالاً قبل از تبلور کلیتونیت (دهماهی ۷۵۰ تا ۸۵۰ درجه سانتی گراد و فشارهای ۱/۵ تا ۱ کیلوبار) پاراژنر کلسیت + کوارتز از بین رفته و به ولاستونیت تبدیل شده باشد. زیرا در  $\text{xH}_2\text{O}$  بسیار بالا و فشار کم، تشکیل کلیتونیت، ولاستونیت از ۴۸۰ °C تا ۵۵۰ °C به طور کامل از کلسیت + کوارتز تولید می‌شود و دیگر پاراژنری بصورت کلسیت + کوارتز باقی نخواهد ماند (Rice, 1979).

بلورهای کلیتونیت نیمه شکل دار تا کاملاً شکل دار در مشاهدات سنگ نگاری تشخیص داده شده که به شکل آزاد، بدون وابستگی به اسپینل یا کانی‌های دیگر در زمینه کلسیت دیده

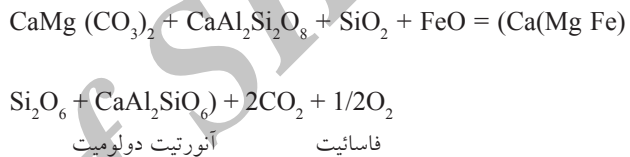
می‌شود، گارنت‌ها از نوع آلومینیوم دار هستند و بیشترین مقدار  $\text{Al}_2\text{O}_3$ , به ۲۴,۳۲ درصد می‌رسد.

### واکنش‌های دگرگونی

براساس مشاهدات میکروسکوپی، نتایج ژئوشیمیابی و به ویژه روابط بافتی می‌توان واکنش‌های متاسوماتیکی عامل پیدایش کانی‌ها را به شرح زیر پیشنهاد کرد:

### کلینوپیروکسن

کلینوپیروکسن رایج ترین و قدیمی ترین کانی تشکیل دهنده اسکارن‌های منشاد است. با توجه به نتایج ریزکاوالکترونی و با در نظر گرفتن ترکیب فاسائیت ( $\text{CaMgSi}_2\text{O}_6 + \text{CaAl}_2\text{SiO}_6$ ) برای کلینوپیروکسن واکنش تشکیل آن را می‌توان چنین بیان داشت (داودی، ۱۳۷۷):



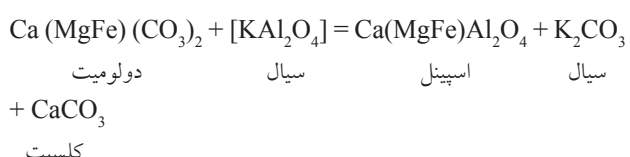
برای انجام واکنش بالا،  $\text{SiO}_2$  و  $\text{CaAl}_2\text{Si}_2\text{O}_8$  به صورت کلوییدی و بسته‌های ساختاری از ماقمایی و دولومیت از سنگ میزبان قابل دسترسی است.

### اسپینل

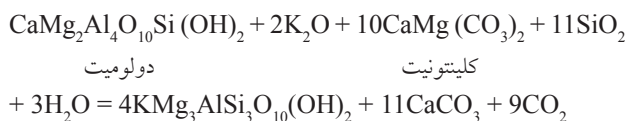
با توجه به مشاهدات سنگ نگاری از اسپینل‌های کاملاً شکل دار (چهارگوش) تانیمه شکل دار که در برش‌های نازک میکروسکوپی زیاد دیده می‌شوند، واکنش زیر در سنگ همبر دولومیتی هنگام هجوم سیلالات ماقمایی حاوی کمپلکس ساختاری آنورتیت انجام پذیر است.



Aleksandrov (2002) برای پیدایش اسپینل گالاکسیت به خرج رودوکروسیت، در اسکارن‌های منگنز، منبع آلومینیم را به شکل سیال  $[\text{KAl}_2\text{O}_4]$  در نظر گرفته است. برای اسکارن منشاد نیز می‌توان واکنش زیر را پیشنهاد کرد:



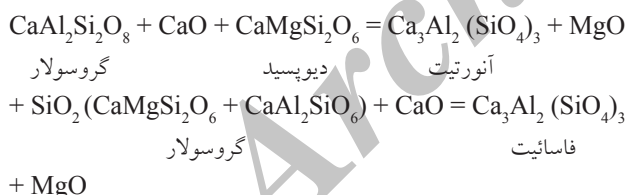
آشکار است در واکنش بالا،  $KAlSi_3O_8$  به صورت یک کمپلکس ساختاری در محلول‌های گرمابی وجود دارد (داودی، ۱۳۷۷). در این میان، هم رشدی هر دو کانی فلوگوپیت - کلیتونیت نیز قابل توجه است. به این صورت که رشد تداخلی این دو کانی در امتداد رخ‌های هم صورت گرفته است. با درنظر گرفتن فرمول آرمانی کلیتونیت و فلوگوپیت، این واکنش به شکل زیر قابل بازسازی است:



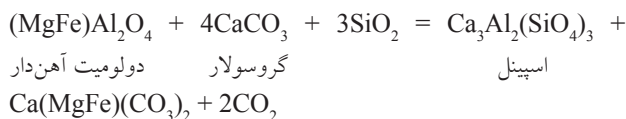
واکنش فوق، رورشدی فلوگوپیت بر کلیتونیت را به خوبی در برخی مقاطع توجیه می‌کند. از سوی دیگر، این بافت را نوعی رشد تواأم کلیتونیت - فلوگوپیت درنظر گرفت. احتمالاً می‌توان گفت عامل شکل‌دهی این همیافتی تغییر ماهیت سیال گرمابی از نظر میزان پویایی  $K^+$  و  $Ca^{2+}$  ضمن کانی‌زایی بوده است.

### گارفت

بعد از پیدایش مستقل گارنت، بیشترین پیدایش این کانی شکل‌گیری آن به خرج پیروکسن‌ها است. واکنش‌های جانشینی گارنت تا آن اندازه واضح است که در برخی برش‌های نازک، رخ‌های ویژه پیروکسن (رخ‌های تقریباً عمود بر هم در برش عرضی) درون گارنت محفوظ مانده است. آنورتیت به صورت بسته‌های ساختاری از سیالات گرمابی قابل دسترس است. واکنش‌های فوق را می‌توان در اثر هجوم  $CaO$  موجود در محیط اسکارن به دیوپسید یا فاسائیت به شرح زیر نوشت:

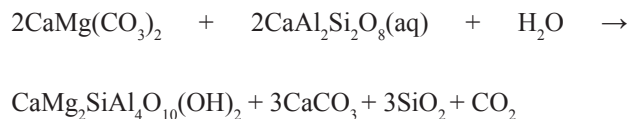


تحلیل رفتن بخشی اسپینل‌ها برای شکل‌گیری گارنت که در برش‌های نازک میکروسکپی دیده می‌شود را می‌توان با واکنش زیر توجیه کرد:

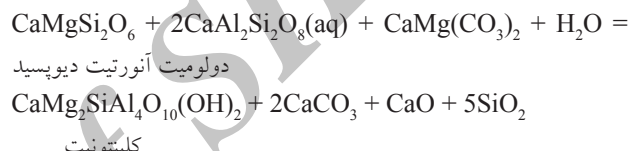


نایداری میکاها (کلیتونیت و فلوگوپیت) در مرحله هجوم گارنت‌های تأخیری، را می‌توان با واکنش زیر بیان کرد:

می‌شوند. برای تشکیل این گونه کلیتونیت‌ها در اینجا واکنش زیر پیشنهاد می‌شود (در این واکنش منع آلومینیم به شکل بسته‌های ساختاری آنورتیت از سیالات ماقمایی در نظر گرفته شده است):

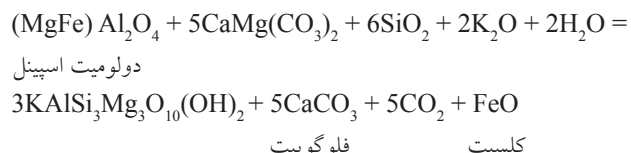


برخی بلورهای کلیتونیت قبل یا همزمان با کلینوپیروکسن‌ها شکل گرفته‌اند. بنابراین واکنش فوق به خوبی نحوه پیدایش این نسل از پیروکسن‌ها را نشان می‌دهد. در برخی موارد، کلیتونیت‌ها به شکل روکش و با مرز عدم تعادلی بر پیروکسن‌های اسکارن نیز دیده شده‌اند. برای این رابطه کاریابی، واکنش زیر پیشنهاد می‌شود (Moine-Vaziri and Ahmadi, 2002):

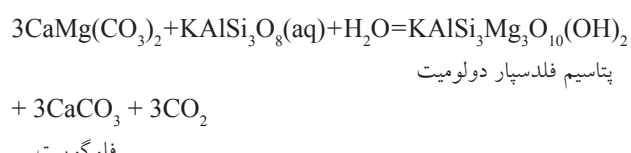


در این واکنش، دولومیت از سنگ مادر و  $CaAl_2Si_2O_8$  به حالت بسته‌های ساختاری و کلوییدی از سیالات ماقمایی منشأ می‌گیرد (داودی، ۱۳۷۷).

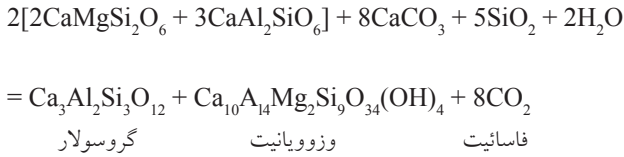
شواهد میکروسکوپی نشان می‌دهد که فلوگوپیت نیز به خرج اسپینل به تنها یا در همراهی با کلیتونیت شکل گرفته است. وجود اسپینل‌ها با حاشیه خورده شده در کنار فلوگوپیت‌ها و همچنین به شکل میانوارهای گرد شده درون فلوگوپیت‌ها شاهدی بر واکنش تشکیل فلوگوپیت، از اسپینل است. در اسکارن‌های منیزیم دار سکوی سیبری (Mazurov and Titov, 2001). اسپینل به عنوان منع آلومینیم برای فلوگوپیت، کلینوکلر، هیدروتالکیت و دیگر کانی‌های همیافت پس از اسکارن عمل کرده است. برای فلوگوپیت‌های منشأ واکنش زیر پیشنهاد می‌شود:



برای پیدایش فنوبلاست‌های فلوگوپیت که به صورت آزاد و مستقل در زمینه کلسیت مشاهده می‌شوند، واکنش زیر پیشنهاد شده است (Deer et al., 1991):



آب و سیلیس تبدیل به وزوویانیت شود. نامبرده واکنش زیر را نیز برای تبدیل فاسائیت به مجموعه وزوویانیت و گروسولاتریت پیشنهاد کرده است.

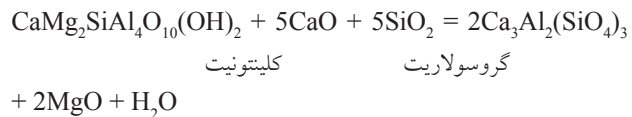


از آنجا که بیشتر میکاهای ترد، کانی‌های کمیاب هستند، روابط فازی آنها به خوبی شناخته نشده است. با این وجود روابط پایداری کلیوتوئیت به صورت جزئی، مطالعه شده است.

دماں جی، اسکارن منشاد

براساس مطالعات تجربی (Olesch and Seifert, 1976) دمای تبلور محلول جامد کلیتونیت در فشارهای ۰/۵ تا ۳ کیلوبار و دمای ۷۸۰ تا ۹۳۰ درجه سانتی گراد به دست آمده است (شکل ۱۱) همان‌گونه که دیده می‌شود افزایش مقدار  $[Al]$  با کاهش مقدار Si میدان پایداری کلیتونیت را پایین می‌آورد. نامبرگان برابر پیدایش کلیتونیت در سنگ‌های طبیعی دمای ۶۰۰ تا ۸۰۰ درجه سانتی گراد، فشار کل بالای ۳۰۰ بار و محدوده  $XCO_2$  حدود ۰/۱ تا ۰/۳ را برآورده اند و معتقدند با توجه به میدان وسیع P-T، پایداری کلیتونیت، علت کمیاب بودن این کانی در طبیعت را می‌توان به رخداد محدود محیط‌های زمین‌شناسی غنی از  $Al_2O_3$ ، فقیر از  $SiO_2$  و فاز گازی همزیست با  $XCO_2$  پایین نسبت داد (Rice, 1979). کمبود چنین شرایطی از پیدایش کلیتونیت در بیشتر سنگ‌های ناخالص دگرگونی ناحیه‌ای جلوگیری می‌کند. در مقابل در دگرگونی همبrij محلول‌های غنی از  $H_2O$  سبب پایداری کلیتونیت می‌شوند. رایس (Rice, 1979) در مرمرهای آلومینیوم‌دار هاله بولدر (مونتانا)، تشکیل کلیتونیت را در دماهای بین ۵۸۰ تا ۶۲۰ درجه سانتی گراد با ترکیب سیال  $XCO_2$  بین ۰/۰۵ و تقریباً ۰/۲ درنظر گرفته است. نامبرگه شرایط تشکیل کلیتونیت را محدود به  $CO_2$  نسبتاً پایین و یا  $H_2O$  بالا دانسته است. می‌توان دمای تبلور کلیتونیت‌های اسکارن منشاء را در  $>0/2$  و فشار یک کیلوبار بین ۷۸۰ تا ۸۲۵ درجه سانتی گراد آورد که:

با داده‌های فوق می‌توان گستره دمای پایداری کلینتونیت در اسکارن منشاد را  $800^{\circ}\text{C}$  درجه سانتی‌گراد درنظر گرفت. احتمالاً هجوم سیالات گرمابی موجود در منطقه عاملی برای پایین نگهداشتن  $f\text{CO}_2$  در محیط اسکارن بوده است. توده نفوذی مانند یک موتور حرارتی برای چرخش آب‌های موجود در سنگ میزبان که کربنات‌های متخلل و کارستی بوده اند، عمل کرده است و جریان همرفت ایجاد شده مراحل تاریخی تحول اسکارن را باعث شده است. دمای بیشینه پایداری کلینوپیروکسن در اسکارن‌های مذکور، در مرحله ماقمابه، نیز  $900^{\circ}\text{C}$  درجه سانتی‌گراد در

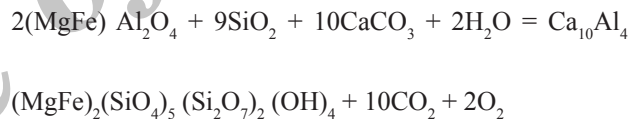


وژوویانیت

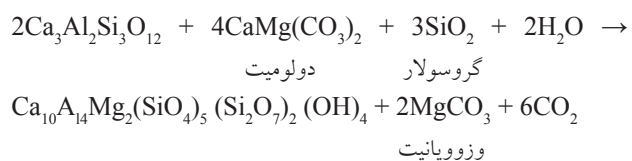
همان گونه که مطالعات بافتی میکروسکوپی نشان داده است  
کانی وزوویانیت (با فرمول عمومی  $(\text{Si}_2\text{O}_7)_2(\text{Al}_{10}\text{Mg}_4\text{SiO}_4)_5$ ) در اسکارن منشاء تاریخی ترین کانی است که جانشین همه  
 $\text{OH}_4$  مجموعه های پیش از خود شده است. حتی در مواردی جانشینی  
پیشرفت و کامل این کانی، موجب پیدایش توده های تک کانیایی  
شده است. با درنظر گرفتن پیر و کسن با ترکیب فاسائیت تشکیل  
وزوویانیت به خرج فاسائیت، می تواند در یک محیط آبگین چنین  
باشد:



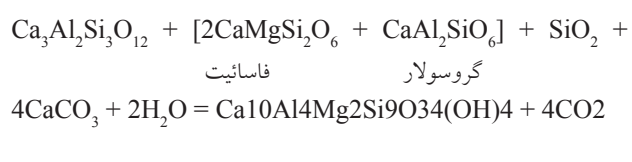
می توان گفت با درنظر گرفتن مشاهدات میکروسکوپی واکنش فوق شایع ترین واکنش جانشینی وزوویانیت است. واکنش تشکیل وزوویانیت را به خرج اسپینل ها چنین پیشنهاد می شود:



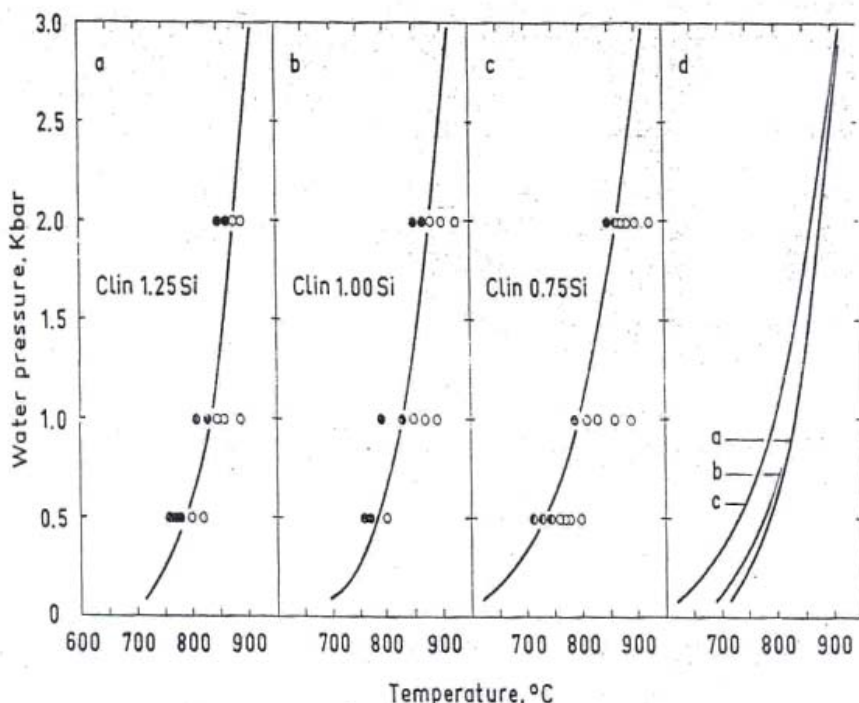
کمبود Al برای این واکنش با هجوم سیالات حاوی بسته‌های ساختاری CaAl<sub>2</sub>Si<sub>2</sub>O<sub>8</sub> یا هجوم کلوپیدی آنورتیت قابل تأمین است. تشکیل وزوویانیت از گارنت نیز توسط واکنش زیر توجیه یздیر است (رهگشای و همکاران ۱۳۸۴).



سبزه‌ئی (۱۳۷۸) نیز با تکیه بر شواهد میکروسکوپی برای تشکیل وزوویانیت در محیط‌های دگرگونی همبری (اسکارنها) و اکنش زد داشتند که در اینجا مورد بررسی قرار نمی‌گیرد.



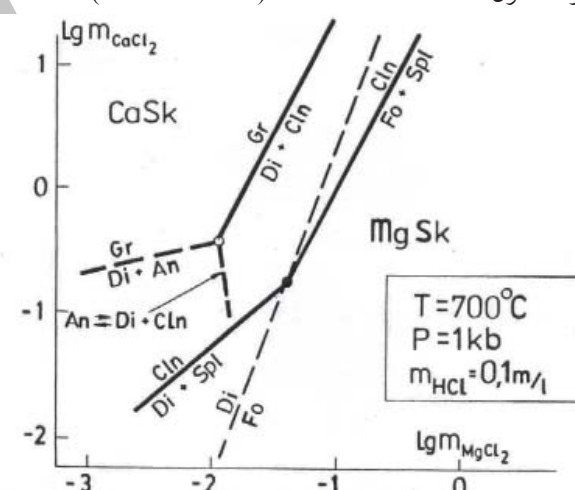
به اعتقاد وی، مطابق این واکنش مجموعه فاسایت + گرسنگاریت می‌تواند مستقیماً در محیط اسکارنی در حضور



شکل ۱۱. محدوده های دمایی بالا برای سه نمونه مختلف بلورهای مخلوط کلیتونیت در فشارهای پایین آب. (دایره توپر: رشد کلیتونیت. دایره نیمه پر: واکنش مشاهده نشده است. دایره خالی: فروپاشی محلول جامد کلیتونیت) (Olesch and Seifert, 1975).

برای شناخت فرآیندهای پیدایش اسکارن، واکنشهای مرزی بین اسکارن‌های کلسیک و منزیمی به صورت تجربی در ارتباط با عوامل شیمیایی  $\text{CaCl}_2$  و  $\text{MgCl}_2$  بررسی شده‌اند (Zharikov, 1987 and Khodarevskaya, 1987). مطالعات نشان داده که در فشار میانگین (تا ۳ کیلوبار) و غلاظت‌های قابل قبول  $\text{HCl}$  (۱۰<sup>-۱</sup> تا ۱۰<sup>-۳</sup>) کلیتونیت تشکیل می‌شود (شکل ۱۲). در رخدادهای طبیعی نیز دیده شده است که جانشینی اسکارن‌های کلسیک در اسکارن‌های منزیمی با فروپاشی اسکارن‌های اخیر به کانی‌های کلیتونیت، وزوویانیت، فلوگوریت، کلریت و... مقدم بوده است (Zharikov 1991).

فشارهای پایین برآورد شده است (Reverdatto, 1973). از آنجا که در اسکارن منشاء، مقدار اندرکی از کلیتونیت‌ها در همیافته کامل با پیروکسن‌ها به وجود آمده‌اند (عملده کلینوپیروکسن‌ها در تقدم زمانی نسبت به تشکیل کلیتونیت هستند) بنابراین می‌توان گفت دمایی بیشینه اسکارن منشاء از ۸۰۰ درجه سانتی‌گراد بیشتر نبوده است. بر اساس داده‌های زمین‌شناختی، ساختار کانی یا همگن کردن میانبارها دمای بیشینه پایداری اسپینل نیز ۷۰۰-۹۵۰ درجه سانتی‌گراد در نظر گرفته شده است (Reverdatto, 1973) که باز هم تأییدی بر دمای بیشینه ۸۰۰ درجه سانتی‌گراد برای شکل‌گیری کلینوپیروکسن - کلیتونیت - اسپینل در اسکارن منشاء است.



شکل ۱۲. میدان پایداری کلیتونیت همراه با پاراژنر کانی‌ای اسکارن در ارتباط با غلاظت  $\text{CaCl}_2$  و  $\text{MgCl}_2$  در محلول. خطوط توپر: داده‌های تجربی. خطوط منقطع: محاسبه‌ای (Zharikov and Khodarevskaya, 1987).

$\text{XCO}_2 < 0/03$  دارد (Henry, 1999).

همچنین مطالعات تجربی انجام شده توسط پلیا سیننا و یخویدوف (1993) Plyusnina and Likhoidov, 1993)، واکنش‌های چندی را برای پیدایش وزوویانیت در فشار ثابت ۲ کیلو بار و دمای ۴۲۰ تا ۴۷۵ درجه سانتی‌گراد محاسبه کرده‌اند (تغییر ترکیب، دمای واکنش را تا ۵۰ درجه تغییر می‌دهد). نامبرگان پایداری این کانی را نسبت به  $\text{XCO}_2$  بسیار حساس می‌دانند، گونه‌ای که این کانی در آزمایش‌های تجربی تا  $\text{XCO}_2 > 0/01$  در محاسبات ترمودینامیکی تا  $\text{XCO}_2 > 0/03$  > پایدار می‌ماند و با افزایش  $\text{XCO}_2$  ناپایدار می‌شود (شکل ۱۴). در بررسی‌های میکروسکوپی به روشنی شکل‌گیری وزوویانیت بعد از گارنت دیده می‌شود. اگر میانگین دمای متوسط تشکیل گارنت‌های گروسوولار را در اسکارن‌ها  $480$  درجه سانتی‌گراد (Reverdatto, 1973; Tracy and Frost, 1991) در نظر بگیریم می‌توان گفت کانی‌زایی وزوویانیت در اسکارن منشاد در  $T < 480$  درجه سانتی‌گراد رخ داده است و فروکش دما تا حداقل  $400$  درجه سانتی‌گراد ادامه یافته است و در این شرایط همواره  $\text{XCO}_2 < \text{XH}_2\text{O}$  بوده است.

### نتیجه‌گیری

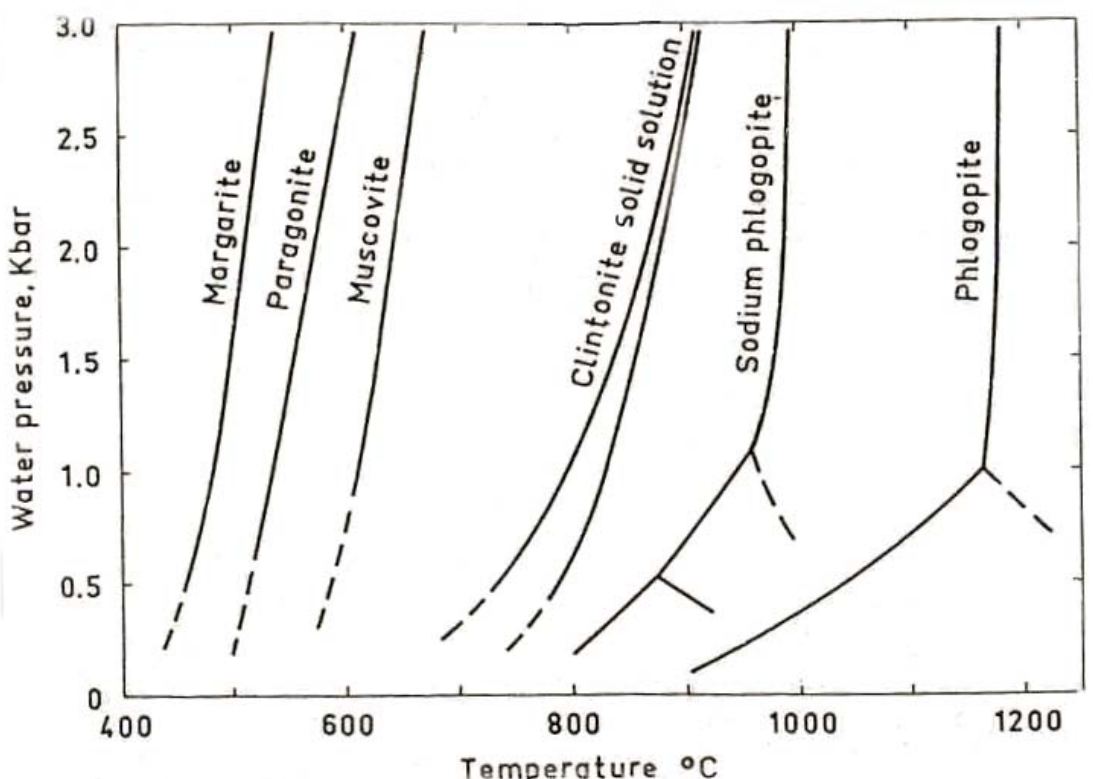
اسکارن‌زایی یکی از پدیده‌های زمین‌شناسی قابل توجه توده‌های

بر اساس بررسی‌های انجام شده بر روی نهشته‌های اسکارن فلوگوپیت (Aksyuk and Zharikov, 1988)، پیدایش فلوگوپیت همین متاسوماتیسم دو سویه<sup>۱</sup> و متاسوماتیسم تراووشی در پیوند با کنش‌های پس از ماقمایی است و دما و پویایی نسبی  $\text{CaO}$  و  $\text{MgO}$  و  $\text{CO}_2$  مهم‌ترین عوامل ژئوشیمیایی برای پایداری این کانی هستند.

همان‌گونه که در شکل ۱۳ دیده می‌شود، در فاز سیال  $\text{CO}_2$  گستره پایداری دمایی فلوگوپیت در کانی‌های سازنده مرمر  $350$  تا  $600$  درجه سانتی‌گراد است (Berman, 1988). بنابراین می‌توان گفت در اسکارن منشاد نیز برای پیدایش فلوگوپیت (به دنبال کلیتونیت) دما تا  $600$  درجه سانتی‌گراد پایین آمده است.

آن گونه که در بررسی‌های سنگ شناختی میکروسکوپی دیده شد، همپوشانی وزوویانیت بر تمامی کانی‌های پیش از خود در اسکارن منشاد به خوبی شناخته شده است و فرآگیرندهای پدیده در مجموعه اسکارنی است بنابراین تعیین شرایط P-T-X پیدایش این کانی به عنوان پایان کانی‌زایی اهمیت دارد.

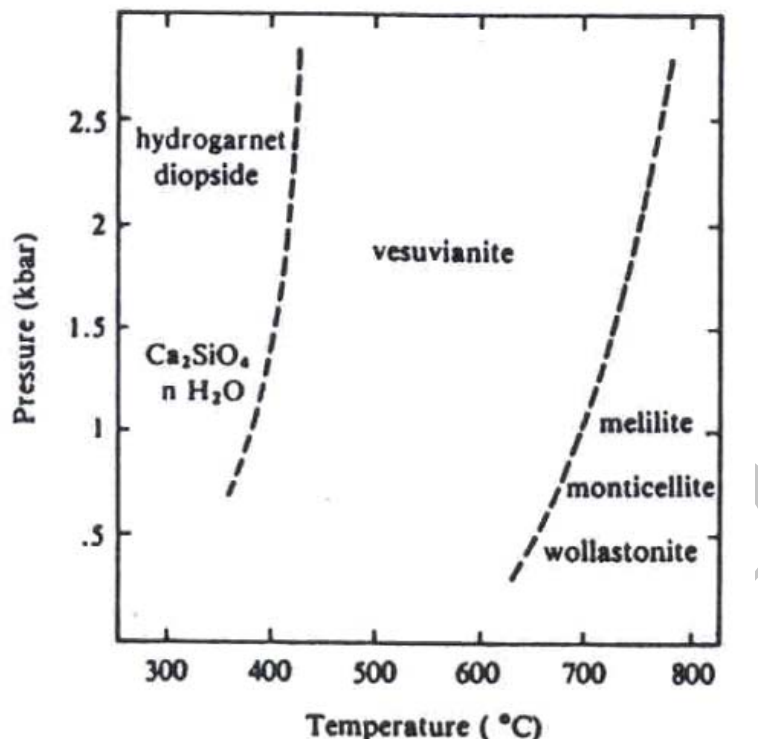
تشکیل وزوویانیت سبب افزایش  $\text{XH}_2\text{O}$  و کاهش  $\text{XCO}_2$  در محیط خواهد شد (Valley et al., 1982) Hochella et al., 1982) و نمودارهای تجربی مشخص کرده که وزوویانیت<sup>۲</sup> تنها در سیالات با  $\text{XCO}_2 < 0/2$  پایدار است. وزوویانیت همراه با ولاستونیت - وزوویانیت منیزیم دار، نیاز به شرایط بسیار غنی از آب و



شکل ۱۳. نمودار T-XCO<sub>2</sub> در فشار ۲ کیلوبار که روابط پایداری کانیها درون مرمرها را نشان می‌دهد. منحنی‌های واکنشی با استفاده از Geo-Calc محاسبه شده‌اند (Berman, 1988).

1- Bimetasomatism

2- Mg-OH-Vesuvianite



شکل ۱۴. نمودار طرح گونه  $T\text{-XCO}_2$  منحنی های پایداری برای تعادل وزوویانیت دارای Mg-OH را نشان می دهد (Valley et al., 1985).

نفوذی مرتبط با تشکیلات کربناتی منطقه شیرکوه می باشد. با توجه به بررسی های کانی شناسی و سنگ نگاری مجموعه کانی های گارنت، پیروکسین، اسپینل، فلوگوپیت و کلیتونیت در اسکارن های این منطقه دیده می شود. بررسی مجموعه کانی اسکارن، مجموعه تحولات زیر را در منطقه اسکارن منشاء نشان می دهد (جدول ۵).  
 (الف) کانی کلیتونیت و فلوگوپیت در اسکارن هایی شکل ب) اسکارن منشاء، یک اسکارن از خاستگاه چند زادی<sup>۱</sup> است. این اسکارن مرحله گذر از اسکارنهای منیزیمی به کلسیکی را با پیدایش کلیتونیت نشان می دهد (جدول ۵) رویداد کلیتونیت را می توان با مرحله ویژه کلیتونیت زایی<sup>۲</sup> معرفی کرد.

جدول ۵. روابط پارازنیکی کانی ها در اسکارن های کلیتونیت دار کوه ڈر.

mineral	Contact metamorphism-metasomatism				
	early skarn		late skarn		
fassaite	●	●	●	●	●
spinel		●			
clintonite			●		
phlogopite				●	
vesuvianite					●

1- Polygenic

2- clintonitization

- رهگشای، م. مکی‌زاده، م. ع. و حاتمی، ش.، ۱۳۸۴، کانی‌شناسی اسکارن‌های اسپینل دار، فشارک - شمال شرق اصفهان، مجموعه مقالات سیزدهمین همایش بلورشناسی و کانی‌شناسی ایران، جلد اول، ۴۰۹ - ۴۱۲.
- مکی‌زاده، م. ع.، ۱۳۸۷، بررسی کانی‌شناسی و پترولولوژیکی اسکارن‌های ایران مرکزی (استان یزد)، دانشگاه شهید بهشتی، رساله دکتری، ۱۸۸.
- نوربهشت، ا.، ۱۳۷۹، گزارش پایانی طرح پژوهشی شماره ۷۶۱۰۴۶، متالوژنی اسکارن‌ها در کمریند مگماتیک سنوزوئیک ایران مرکزی (استان یزد) دانشگاه اصفهان، منتشر نشده، ۹۸.

- Aleksandrov, S.M., 2002. Genesis and Mineralogical composition of manganese skarn of prograde and retrograde stages of metasomatism in carbonate rocks, Geochimistry International, 40, 7, 649-663.

- Aksyuk, A.M. and Zharikov, V.A., 1988. The phlogopite skarn deposits, physical-chemical conditions of formation, Proceedings of seventh Quadrennial IAGOD symposium, 321-326.

- Berman, R.G., 1988. Internally-consistent thermodynamic data for minerals in the system  $\text{Na}_2\text{O}$ - $\text{K}_2\text{O}$ - $\text{CaO}$ - $\text{MgO}$ - $\text{FeO}$ - $\text{Fe}_2\text{O}_3$ - $\text{Al}_2\text{O}_3$ - $\text{SiO}_2$ - $\text{TiO}_2$ - $\text{H}_2\text{O}$ - $\text{CO}_2$ . Journal Petrology, 29, 455-522.

- Boomeri , M., Nakashima, K. and Lentz, D. R., 2009. The Miduk porphyry Cu deposit, Kerman, Iran: A geochemical analysis of the potassic zone including halogen element systematics related to Cu mineralization processes, Journal of Geochemical Exploration, 103, 17-29.

- Calagari, A.A. and Hosseinzadeh, G., 2006. The mineralogy of copper-bearing skarn to the east of the Sungun-Chay river, East-Azerbaijan, Iran, Journal of Asian Earth Sciences, 28, 423-438.

- Deer, W.A. Howie, R.A and Zussman, J., 1991. An Introduction to the Rock Forming Minerals, seventeenth impression, Longman, 528.

- Einaudi, M.T., 1977. Petrogenesis of copper-bearing skarn at the Mason Valley mine, Yerington district, Nevada, Economic Geology, 72, 769-795.

- Einaudi, M.T., Meinert, L.D. and Newberry, R.J., 1981. Skarn deposits, Economic Geology, 75th Anniv. 317-391.

- Franchini, M.B., Meinert, L.D. and Vallés, J.M., 2002. First occurrence of ilvaite in a Au skarn deposit, Econom-

ج ) بیشتر واکنش‌های تکوین اسکارن منشاد، واکنش‌های کربن زدایی<sup>۱</sup> هستند.  $\text{XCO}_2$  بالا سبب توقف واکنش یا رخداد واکنش‌های برگشتی خواهد شد. بی‌گمان می‌باشد  $\text{CO}_2$  به گونه‌ای از محیط اسکارن خارج شود، که این مورد با خروج  $\text{CO}_2$  از راه درزهای و شکاف‌ها یا رقیق شدن توسط  $\text{H}_2\text{O}$  و سایر مواد فرار ممکن خواهد بود.

قابلیت تراوایی بالا و آبدار بودن کربنات‌های کرتاسه در شیرکوه که میزبان اسکارن‌زایی هستند، می‌تواند سبب شکل‌گیری سلول‌های همرفت در پیرامون نوده نفوذی داغ شود. گردش آب‌های همرفت نیز خود می‌تواند در سامانه اسکارنی راه یافته و سبب خروج  $\text{CO}_2$  از محیط یا رقیق شدن آن شود.

(d) بهنظر می‌رسد شستشوی اسیدی یا کاتیونی (Ca و Si) در پیدایش اسپینل به خرج کلینوپیروکسن‌ها (فاسائیت و دیوپسید) مؤثر بوده است.

(ه) مهم ترین عامل پایداری کلیتونیت (بعد از وجود فازهای کانیایی غنی از آلومینیم و فقیر از  $\text{SiO}_2$ ) وجود سیالات غنی از  $\text{XCO}_2$  است که سبب رقیق شدن  $\text{CO}_2$  می‌شود. با افزایش  $\text{H}_2\text{O}$  کلیتونیت ناپایدار می‌شود.

(و) رخداد وزوویانیت در آخرین مرحله به عنوان یک کانی  $\text{SiO}_2$ - $\text{Al}_2\text{O}_3$  اتفاق افتاده است. در برخی موارد رود  $\text{SiO}_2$  همراه سیالات غنی از  $\text{H}_2\text{O}$  الزامی بوده است. به طورکلی برای پایداری وزوویانیت وجود سیالات حاوی  $\text{SiO}_2$ ,  $\text{H}_2\text{O}$ ,  $\text{CO}_2$  الزامی است. آن گونه که در برش‌های نازک میکروسکوپی دیده می‌شود، شکل‌گیری و پایداری توده‌های تک کانیایی وزوویانیت، تنها توسط واکنش‌های تشکیل این کانی به خرج کانی‌های پیشین توجیه پذیر است. پیشنهاد می‌شود برای مرحله پایانی تکوین اسکارن منشاد و دیگر اسکارن‌های مشابه در محیط‌های زمین‌شناسی ایران و جهان واژه وزوویانیتی شدن<sup>۲</sup> را در نظر بگیریم.

## سیاسگزاری

نویسنده مقاله بر خود لازم می‌دانند از حمایت‌های مالی دانشگاه شیراز در به انجام رساندن این تحقیق تشکر نمایند. همچنین از راهنمایی‌های علمی دکتر محمد علی مکی‌زاده (دانشگاه اصفهان) و سرکار خانم دکتر دلیران از دانشگاه کارلسروهه آلمان قدردانی می‌شود.

## منابع

- سبزه‌ئی، م.، ۱۳۷۸، واکنش‌های متاسوماتیکی تشکیل دهنده کانی وزوویانیت، مجموعه مقالات هفتمین سمینار بلورشناسی و کانی‌شناسی ایران، ۳۶ - ۳۸.
- داودی، ف.، ۱۳۷۷، پژوهش‌های سنگ شناختی اسکارن‌های منطقه شیرکوه، استان یزد (ده بالا، باقی آباد)، پایان‌نامه کارشناسی

1- Decarbonation  
2- Convection cells  
3- Vesuvianitization

ic Geology, 97, 1119-1126.

- Guggenheim, S., 1984. The brittle micas, In Micas (Baily, S.W., ed.) Mineralogical Society of America, Review in Mineralogy, 13, 61-101.

- Hammarstrom, J.M., Orris, G.J., Bliss, J.D. and Theodore, T.G., 1989. A Deposit Model for Gold-Bearing Skarns; Fifth Annual V.E. McKelvey Forum on Mineral and Energy Resources, USGS Circular 1035, 27-28.

- Henry, D.A., 1999. Cuspidine-bearing skarn from Chesney Vale, Victoria, Australian Journal of Earth Sciences, 46, 251-260.

- Hibbard, M.J., 2002. Mineralogy, a Geologist Point of View, Mc Graw Hill, 562.

- Hochella, M.F., Liou, J.G., Keskinen, M.J. and Kim, H. S., 1982, Synthesis and stability relations of magnesium idocrase. Economic Geology, 77, 798-808.

- Karimzadeh Somarin, A. and Moayyed, M., 2002. Granite and gabbro-diorite-associated skarn deposits of NW Iran, 20, 127-138.

- Mackizadeh, M.A., 2008. Mineralogical and petrological studies of Central Iranian skarns (Yazd Province): Unpublished PhD thesis, in Farsi (with English abstract), Shahid Beheshti University, 188.

- Mazurov, M.P. and Titov, A.T., 2001. Composition and features of crystallization and transformation of spinels at the contacts of dolerites with dolomites and rock salt, Geology and Geophysics, 42, 7, 1108.

- Meinert, L.D., Dipple, G.M. and Nicolescu, S., 2005. World Skarn Deposits: in Hedenquist, J.W., Thompson, J.F.H., Goldfarb, R.J. and Richards, J.P., eds., Economic Geology 100th Anniversary Volume, Society of Economic Geologists, Littleton, Colorado, USA, 299-336.

- Moine-Vaziri, H. and Ahmadi, A., 2002. Developpement de clintonites dans un skarn d' Esfahan (Iran). C.R. Academic Science, Paris, 314, 2, 85-91.

- Olesch, M. and Seifert, F., 1976, Stability and phase relations of Trioctahedral Calcium Brittle Micas (Clin-

tonite Group), Journal of Petrology, 17, 3, 291-314.

- Plyusnina, L.P. and Likhoidov, G., 1993. Vesuvianite stability in water and water-carbon dioxide fluids, Russian Academy of Sciences, Geochemistry, in- Russian, 5, 644-654.

- Pirajno, F., 1992. Hydrothermal Mineral Deposits, Springer-Verlag, 709.

- Reverdatto, V., 1973. The Facies of Contact Metamorphism (Translated by D.A. Brown, 1973) David Alexander Brown, 262.

- Rice, J.M., 1979. Petrology of Clintonite-bearing marbles in the Boulder aureole, Montana, American Mineralogists, 64, 519-526.

- Taghipour, B., Mackizadeh, M.A. and Moore, F., 2011. Clintonite-spinel paragenetic relationships in Central Iran skarns as evidences of clintonite formation, Neues Jahrbuch für Geologie und Paläontologie, 259, 2, 217-229.

- Tracy, R.J. and Frost, B.R., 1991. Phase equilibria and thermobarometry of calcareous, ultramafic and mafic rocks, and iron formation, In D.M., Kerrick, E.d., Contact Metamorphism, Mineralogical Society of America, Reviews in Mineralogy, 26, 207-289.

- Valley, J.W., Peacor, D.R., Bowman, J.R., Essene, E. J. and Allard, M.J., 1985. Crystal chemistry of a Mg-vesuvianite and implications of phase equilibria in the system CaO-MgO-Al<sub>2</sub>O<sub>3</sub>-SiO<sub>2</sub>-H<sub>2</sub>O-CO<sub>2</sub>. Journal of Metamorphic Geology, 3, 137-153.

- Wenk, H.R. and Bulakh, A., 2004. Minerals, Their Constitution and Origin, Cambridge University Press, 646.

- Zharikov, V.A. and Khodarevskaya, L.Y., 1987, Experimental study of the clintonite formation reaction. Dokl. Akad. Nauk SSSR, 294, 4, 952-955.

- Zharikov, V.A., 1991. Skarn types, formation and mineralization conditions In. A. Barto-Kyriakidis, Ed., Skarns-Their genesis and metallogenesis, Theophrastus publications S.A., 358.